

Zeitschrift: Bericht der Eidgenössischen Kommission zur Überwachung der Radioaktivität

Herausgeber: Eidgenössische Kommission zur Überwachung der Radioaktivität

Band: 7 (1963)

Anhang: [Abbildungen = Images]

Nutzungsbedingungen

Die ETH-Bibliothek ist die Anbieterin der digitalisierten Zeitschriften auf E-Periodica. Sie besitzt keine Urheberrechte an den Zeitschriften und ist nicht verantwortlich für deren Inhalte. Die Rechte liegen in der Regel bei den Herausgebern beziehungsweise den externen Rechteinhabern. Das Veröffentlichen von Bildern in Print- und Online-Publikationen sowie auf Social Media-Kanälen oder Webseiten ist nur mit vorheriger Genehmigung der Rechteinhaber erlaubt. [Mehr erfahren](#)

Conditions d'utilisation

L'ETH Library est le fournisseur des revues numérisées. Elle ne détient aucun droit d'auteur sur les revues et n'est pas responsable de leur contenu. En règle générale, les droits sont détenus par les éditeurs ou les détenteurs de droits externes. La reproduction d'images dans des publications imprimées ou en ligne ainsi que sur des canaux de médias sociaux ou des sites web n'est autorisée qu'avec l'accord préalable des détenteurs des droits. [En savoir plus](#)

Terms of use

The ETH Library is the provider of the digitised journals. It does not own any copyrights to the journals and is not responsible for their content. The rights usually lie with the publishers or the external rights holders. Publishing images in print and online publications, as well as on social media channels or websites, is only permitted with the prior consent of the rights holders. [Find out more](#)

Download PDF: 24.08.2025

ETH-Bibliothek Zürich, E-Periodica, <https://www.e-periodica.ch>

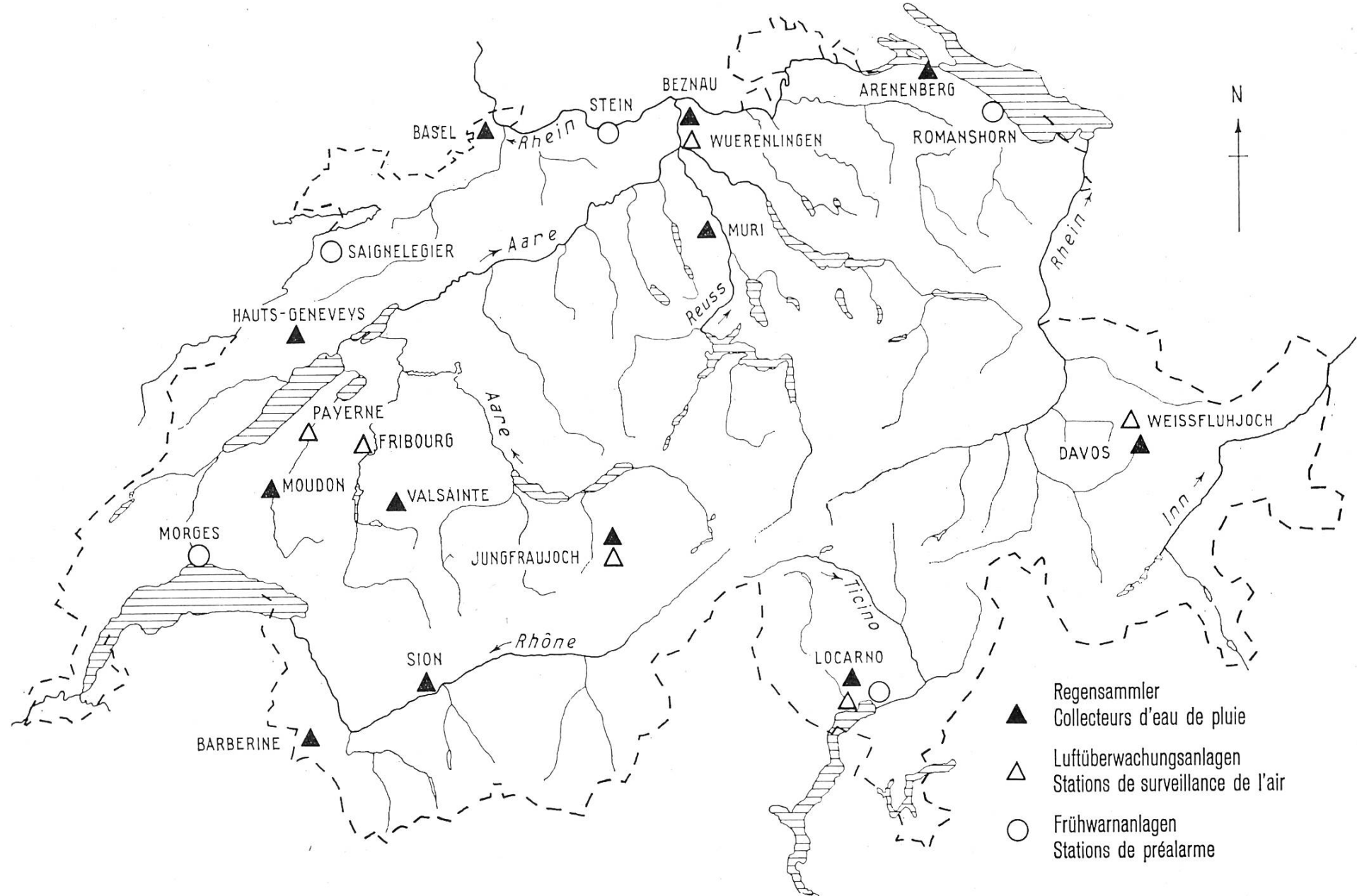


Fig. 1. Netz der Luft- und Niederschlagsüberwachungsanlagen.
 Fig. 1. Réseau des stations de surveillance de l'air et des précipitations.

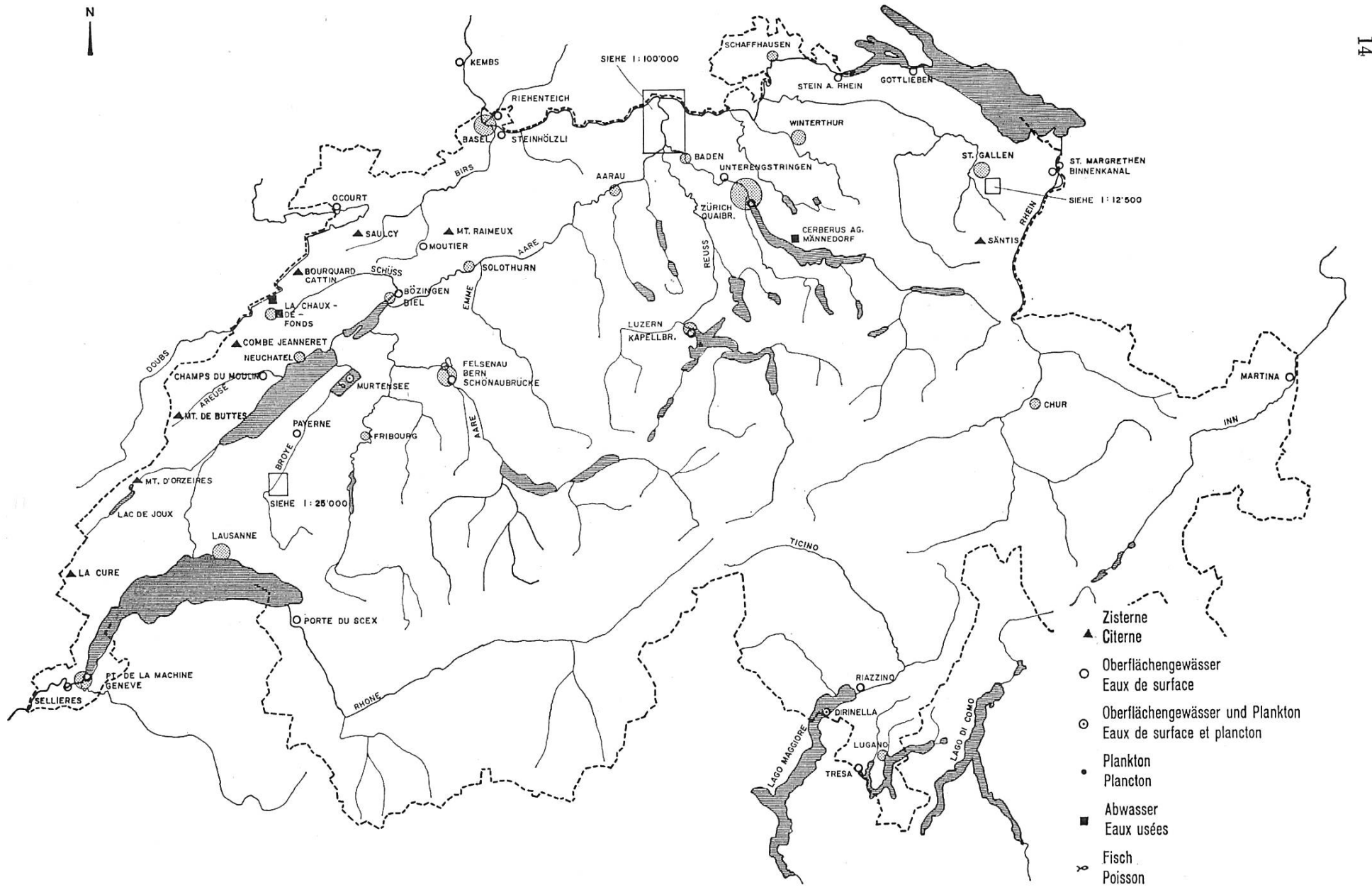
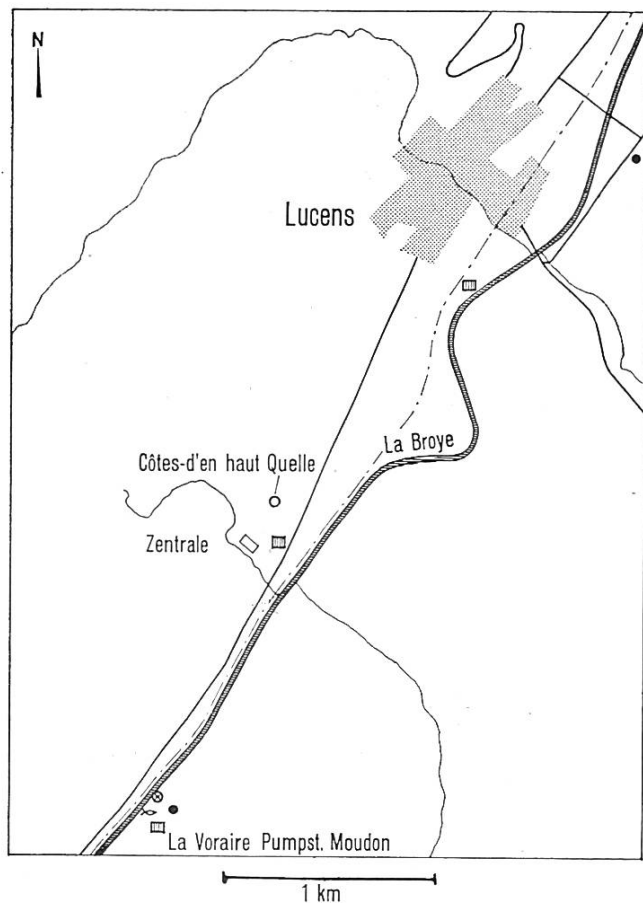


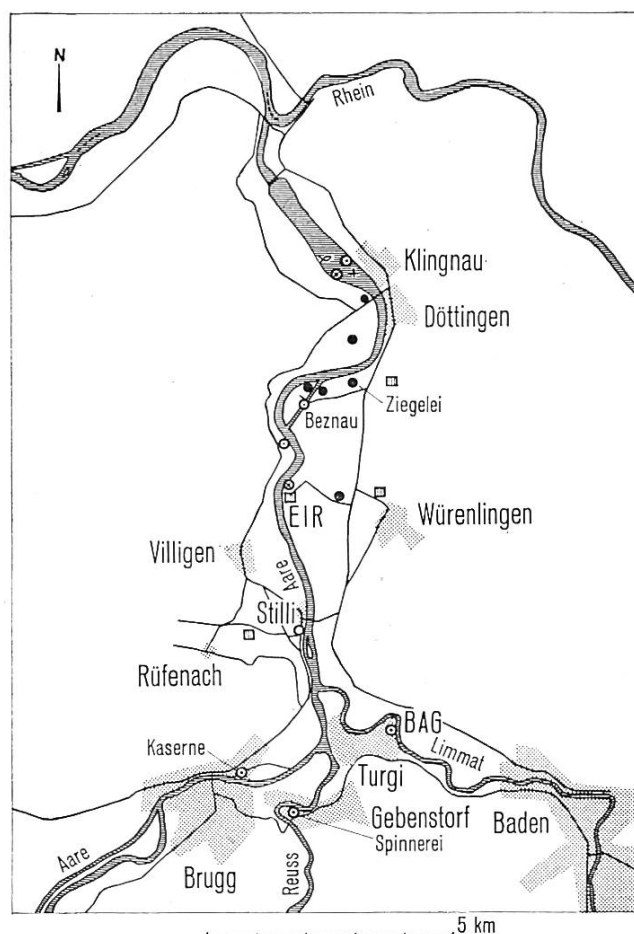
Fig. 2. Probeentnahmestellen für Oberflächen-, Grund- und Zisternenwasser.
Fig. 2. Lieux de prélèvement d'échantillons d'eaux de surface, souterraines et de citerne.



- Oberflächengewässer – Eaux de surface
- ⊗ Oberflächengewässer und Plankton und Sediment
Eaux de surface et plancton et sédiment
- Grundwasser – Eaux souterraines
- Boden, Gras – Sol, herbe
- ✗ Fisch – Poisson

Fig. 3a. Probeentnahmestellen in der Umgebung von Lucens.

Fig. 3a. Lieux de prélèvement d'échantillons aux environs de Lucens.



- Oberflächengewässer – Eaux de surface
- Oberflächengewässer und Plankton und Schwebestoffe
Eaux de surface et plancton et matières en suspension
- Oberflächengewässer und Plankton und Sediment
Eaux de surface et plancton et sédiment
- Grundwasser – Eaux souterraines
- Boden, Gras – Sol, herbe
- ✖ Fisch – Poisson
- + Wasserpflanzen Plantes aquatiques

Fig. 3b. Probeentnahmestellen in der Umgebung des EIR Würenlingen.

Fig. 3b. Lieux de prélèvement d'échantillons aux environs de l'IFR Würenlingen.

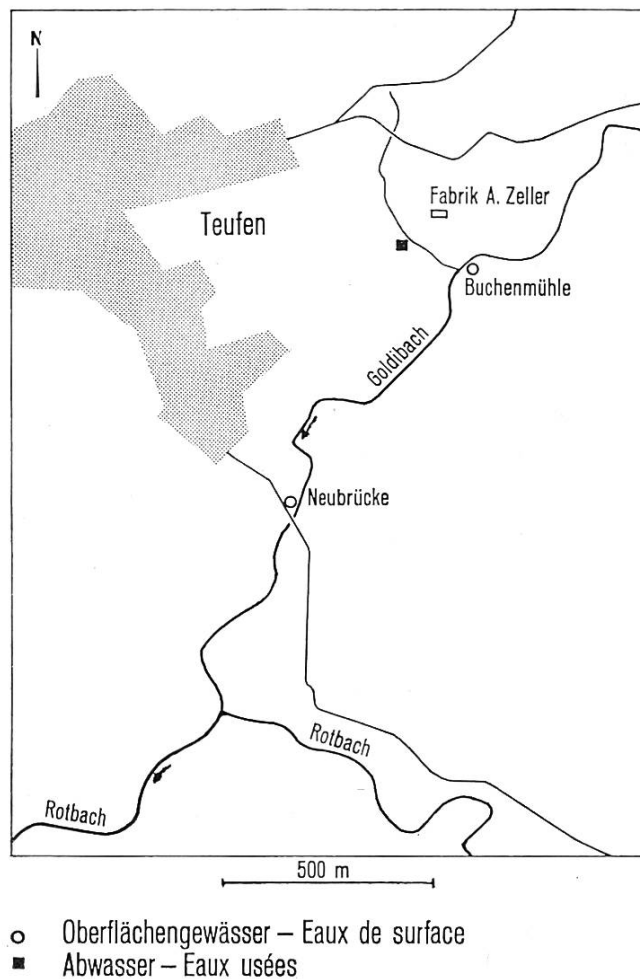


Fig. 3c. Probeentnahmestellen in der Umgebung der Leuchtfarbenfabrik, Teufen AR.

Fig. 3c. Lieux de prélèvement d'échantillons aux environs de la fabrique de matières luminescentes de Teufen AR.

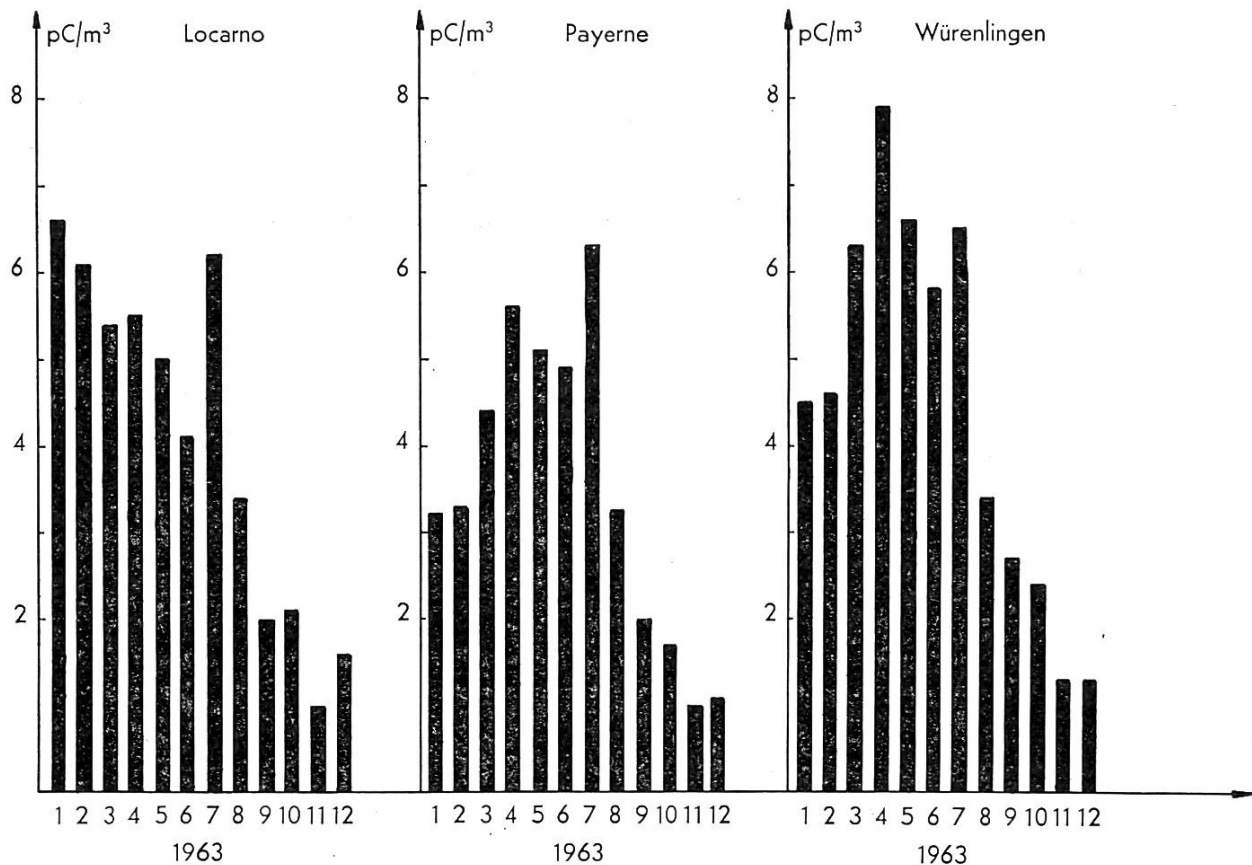


Fig. 4a. Monatliche Mittelwerte der spezifischen Gesamt-Beta-Aktivität der Luft, bezogen auf 760 mm Hg und 0° C, für die Messstellen Locarno, Payerne und Würenlingen.

Fig. 4a. Moyennes mensuelles de l'activité bêta totale spécifique de l'air, à 760 mm Hg et 0° C, mesurées aux stations de Locarno, Payerne et Würenlingen.

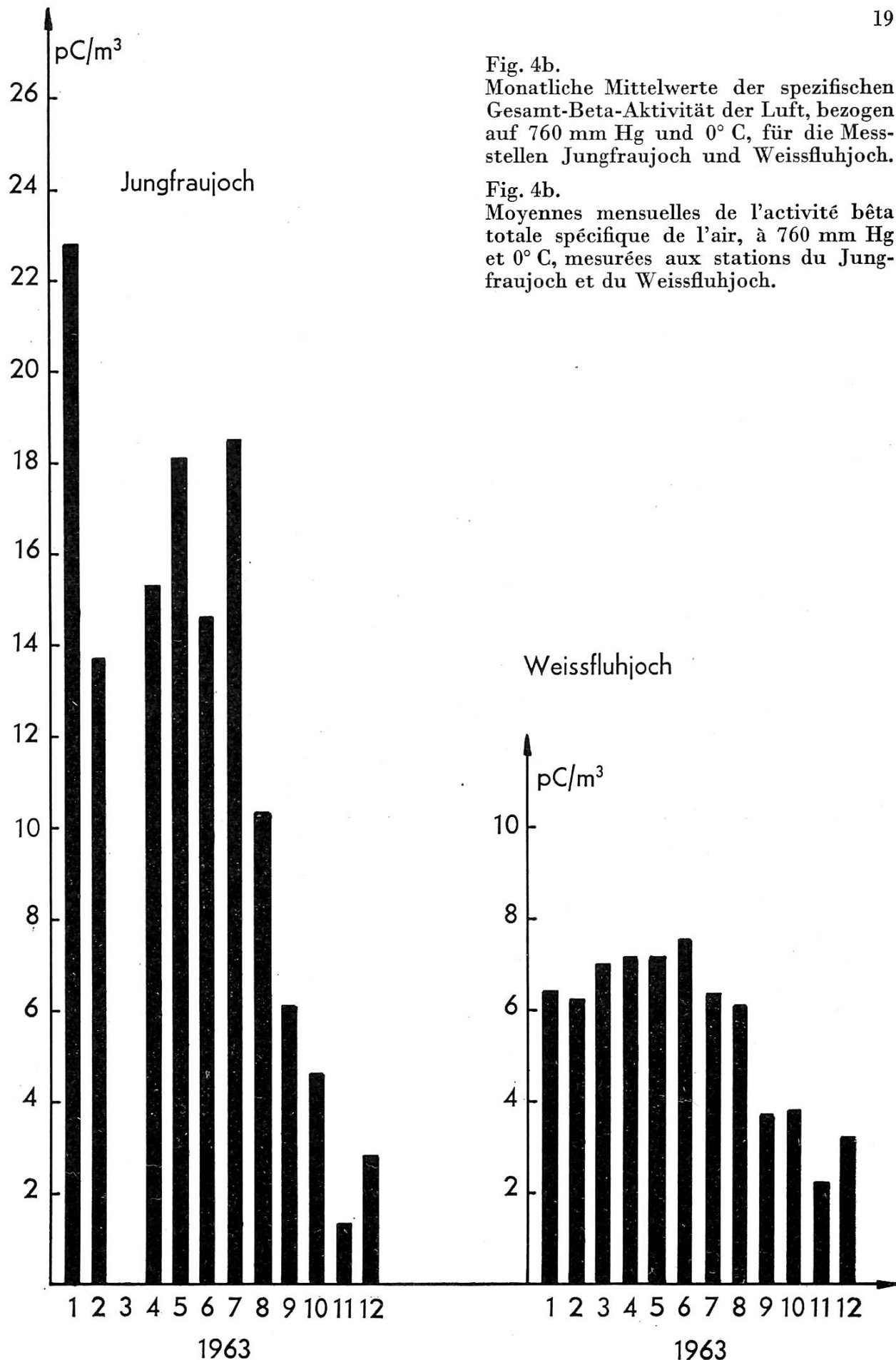


Fig. 4b.

Monatliche Mittelwerte der spezifischen Gesamt-Beta-Aktivität der Luft, bezogen auf 760 mm Hg und 0° C, für die Messstellen Jungfraujoch und Weissfluhjoch.

Fig. 4b.

Moyennes mensuelles de l'activité bêta totale spécifique de l'air, à 760 mm Hg et 0° C, mesurées aux stations du Jungfraujoch et du Weissfluhjoch.

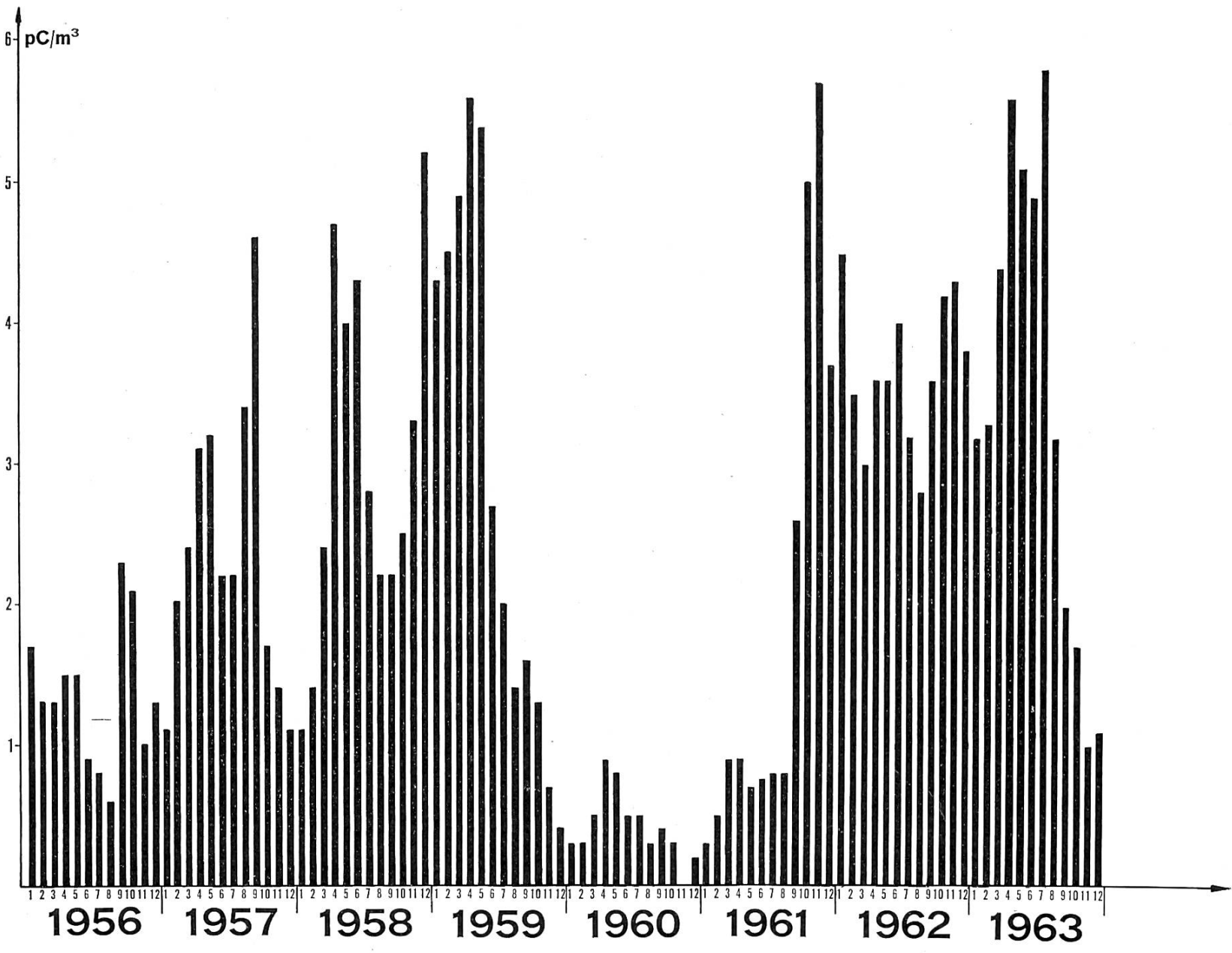
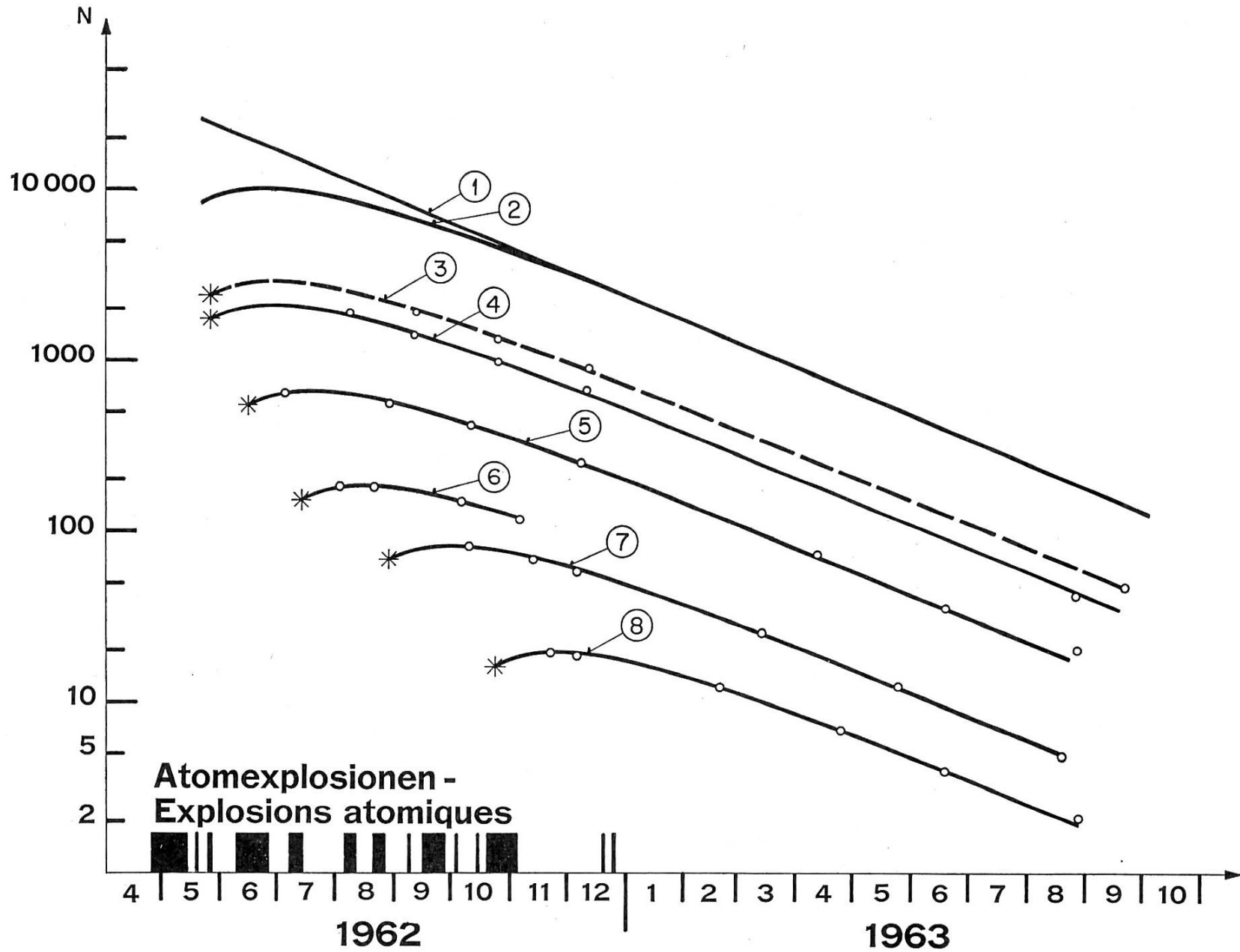


Fig. 5. Monatliche Mittelwerte der spezifischen Gesamt-Beta-Aktivität der Luft, bezogen auf 760 mm Hg und 0°C, für die Messstelle Payerne von 1956 bis 1963.

Fig. 5. Moyennes mensuelles de l'activité bêta totale spécifique de l'air, à 760 mm Hg et 0°C mesurées à la station de Payerne de 1956 à 1963.

Legende s. S. 22. — Légende voir p. 22.



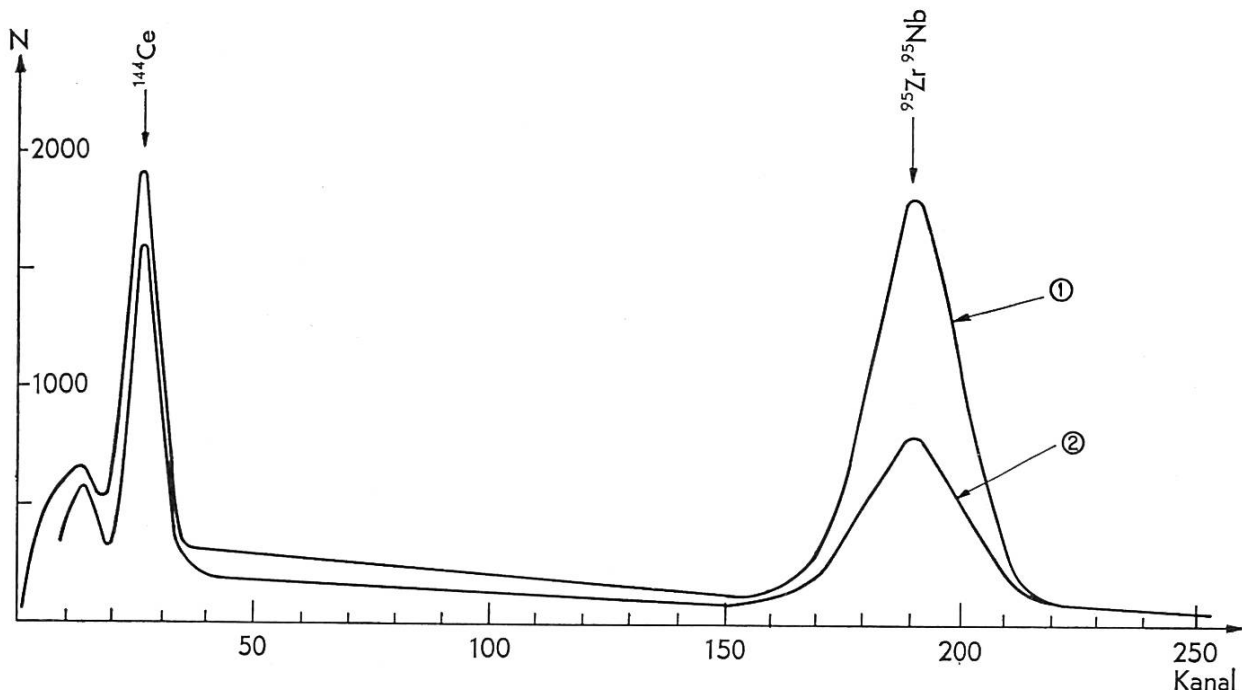


Fig. 7a. Gamma-Spektrum der heißen Teilchen aus dem Filter des Fluges vom 31. Juli 1962 (vgl. Fig. 5, Kurve 6, 6. Bericht 1962).
Kurve 1: gemessen am 28. 9. 63 — Kurve 2: gemessen am 5. 12. 63

Fig. 7a. Spectre gamma des particules chaudes du filtre prélevé au cours du vol du 31 juillet 1962 (voir fig. 5, courbe 6, 6^e rapport 1962).
Courbe 1: mesuré le 28. 9. 63 — Courbe 2: mesuré le 5. 12. 63

Legende zu Seite 21. — Légende de la page 21.

Fig. 6. Abnahme der $^{95}\text{Zr} \xrightarrow{65\text{ d}} {}^{95}\text{Nb} \xrightarrow{35\text{ d}} {}^{95}\text{Mo}$ -Aktivität

Kurve 1: Halbwertszeit 65 d

Kurve 2: $^{95}\text{Zr} \xrightarrow{95\text{ d}} {}^{95}\text{Nb} \xrightarrow{95\text{ d}} {}^{95}\text{Mo}$ -Zerfall bei reinem ^{95}Zr als Ausgangsisotop

Kurve 3: Höhenfilter vom 31. 7. 1962 ohne stärkere heiße Teilchen

Kurve 4: Summe der stärkeren heißen Teilchen im Höhenfilter vom 31. 7. 62

Kurve 5: Heisses Teilchen 567 pC im Höhenfilter vom 21. 6. 62

Kurve 6: Heisses Teilchen 836 pC im Höhenfilter vom 25. 7. 62

Kurve 7: Heisses Teilchen 504 pC im Höhenfilter vom 19. 9. 62

Kurve 8: Heisses Teilchen 369 pC im Höhenfilter vom 13. 11. 62

* Rückextrapolierte Entstehungsdaten

Fig. 6. Décroissance de l'activité $^{95}\text{Zr} \xrightarrow{65\text{ d}} {}^{95}\text{Nb} \xrightarrow{35\text{ d}} {}^{95}\text{Mo}$

Courbe 1: Période 65 d

Courbe 2: Décomposition $^{95}\text{Zr} \xrightarrow{95\text{ d}} {}^{95}\text{Nb} \xrightarrow{95\text{ d}} {}^{95}\text{Mo}$ avec ^{95}Zr pure comme isotope initial

Courbe 3: Filtre stratosphérique du 31. 7. 62 sans particules chaudes fortes

Courbe 4: Somme des particules chaudes fortes du filtre stratosphérique du 31. 7. 62

Courbe 5: Particule chaude 567 pC du filtre stratosphérique du 21. 6. 62

Courbe 6: Particule chaude 836 pC du filtre stratosphérique du 25. 7. 62

Courbe 7: Particule chaude 504 pC du filtre stratosphérique du 19. 9. 62

Courbe 8: Particule chaude 369 pC du filtre stratosphérique du 13. 11. 62

* Dates d'origine extrapolées

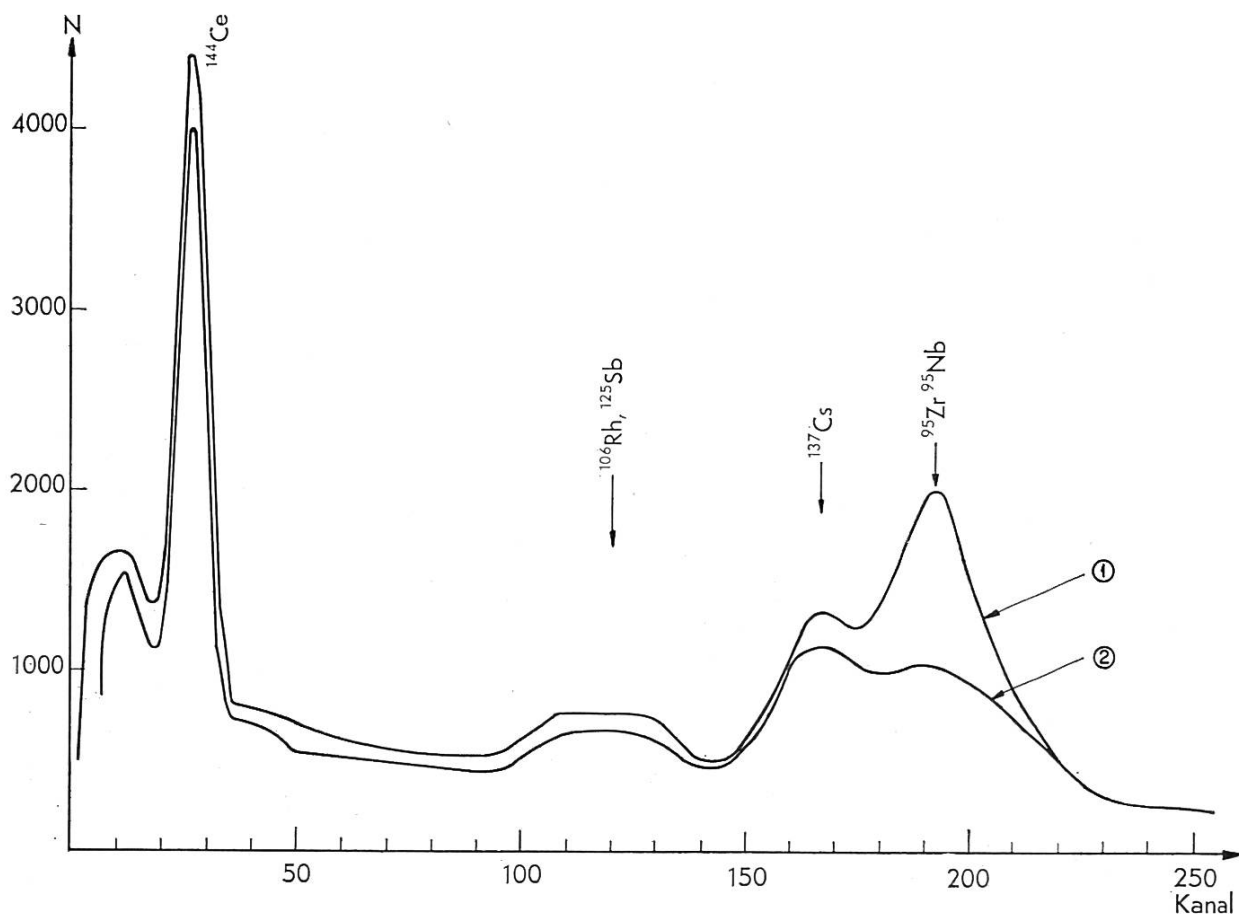


Fig. 7b. Gamma-Spektrum der kontinuierlich verteilten Filterrückstände aus der Stratosphärenluft vom 31. Juli 1962 (vgl. Fig. 5, Kurve 5, 6. Bericht 1962). Alle stärkeren heissen Teilchen sind aus dem Filter entfernt.
 Kurve 1: gemessen am 28. 9. 63
 Kurve 2: gemessen am 5. 12. 63

Fig. 7b. Spectre gamma des résidus d'air stratosphérique répartis sur filtre de manière uniforme, prélevés le 31 juillet 1962 (voir fig. 5, courbe 5, 6^e rapport 1962). Toutes les particules plus chaudes ont été éliminées du filtre.
 Courbe 1: mesuré le 28. 9. 63
 Courbe 2: mesuré le 5. 12. 63

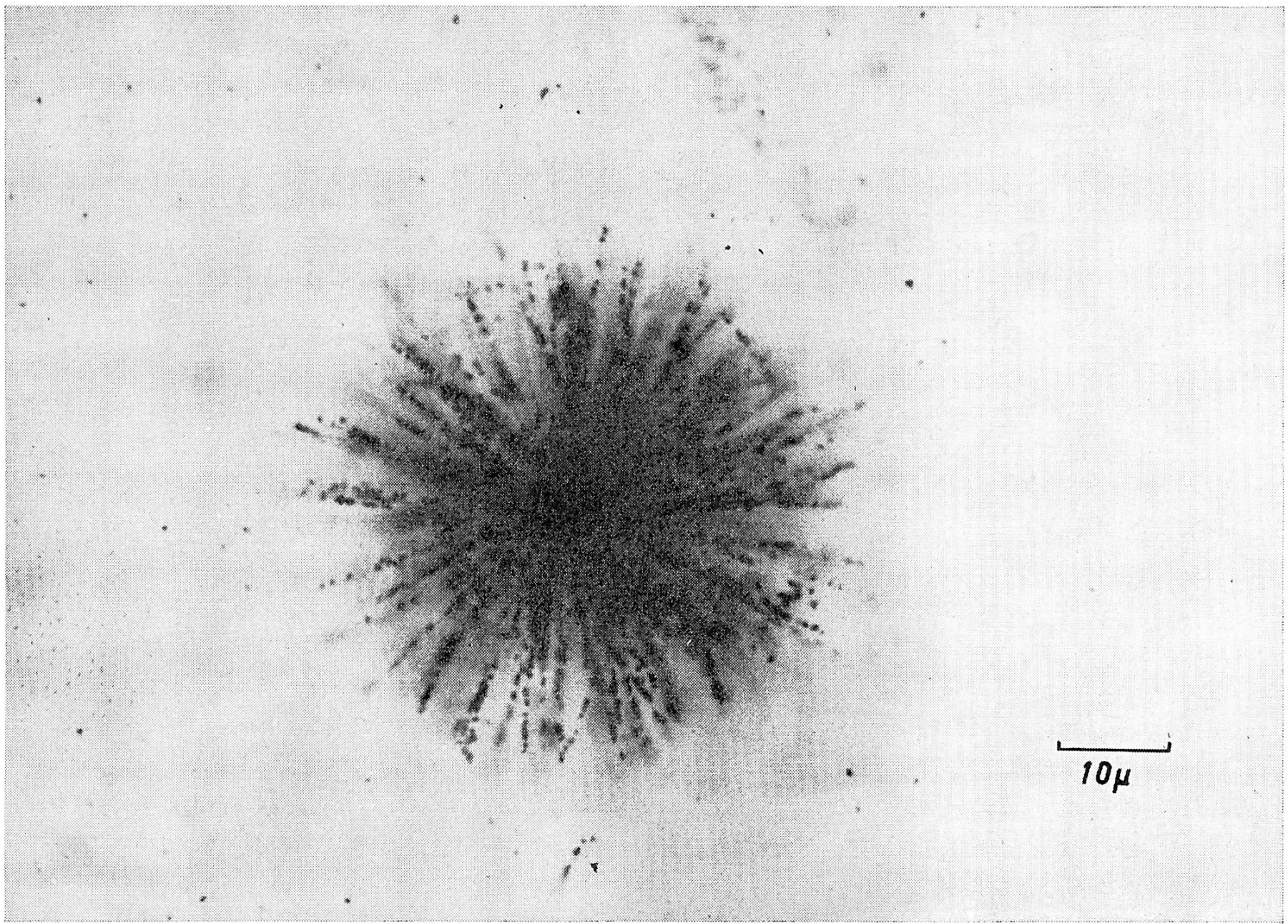


Fig. 8. Alpha-strahlendes heisses Teilchen in Kernemulsion
Fig. 8. Particule chaude émettrice alpha en émulsion nucléaire

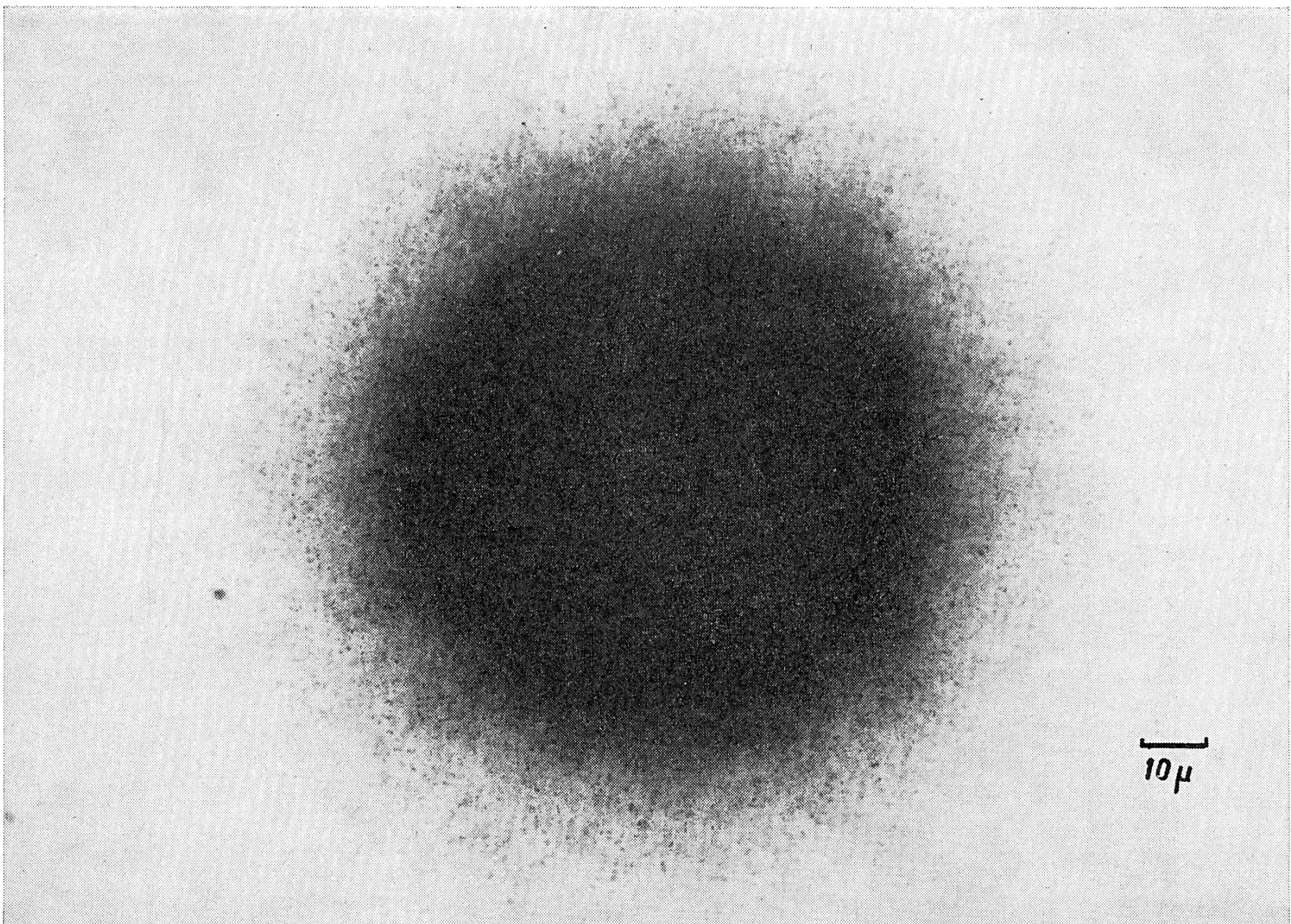
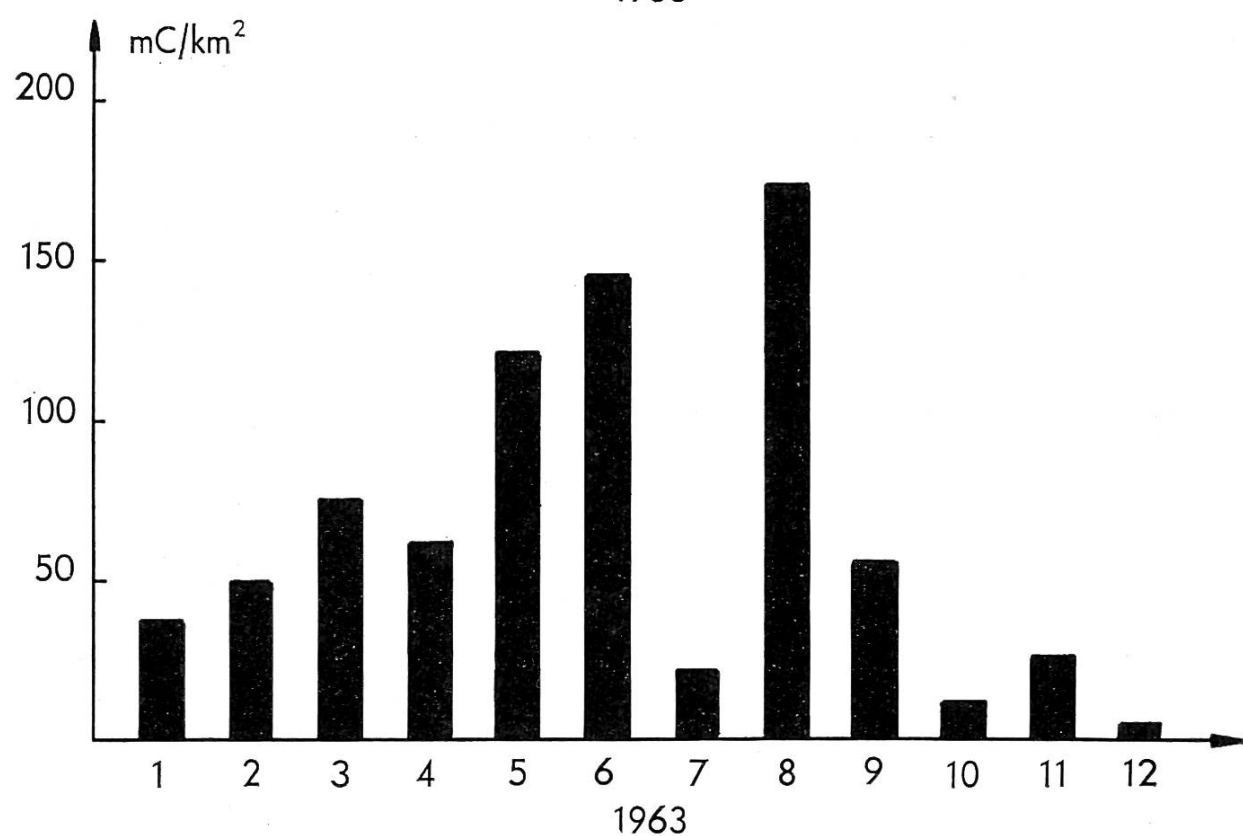
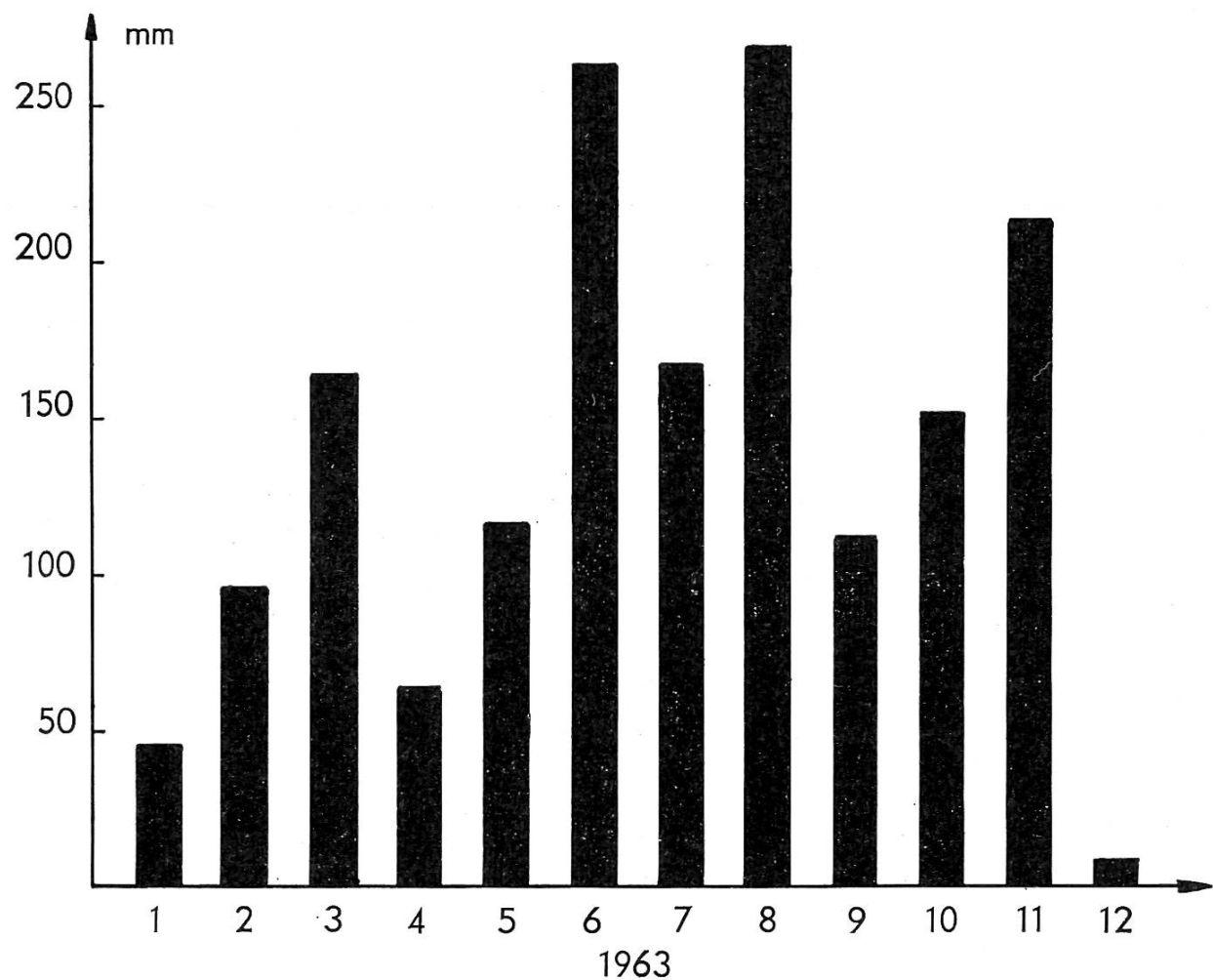


Fig. 9.
Beta-strahlendes heisses Teilchen in Kernemulsion
Fig. 9.
Particule chaude émettrice bêta en émulsion nucléaire



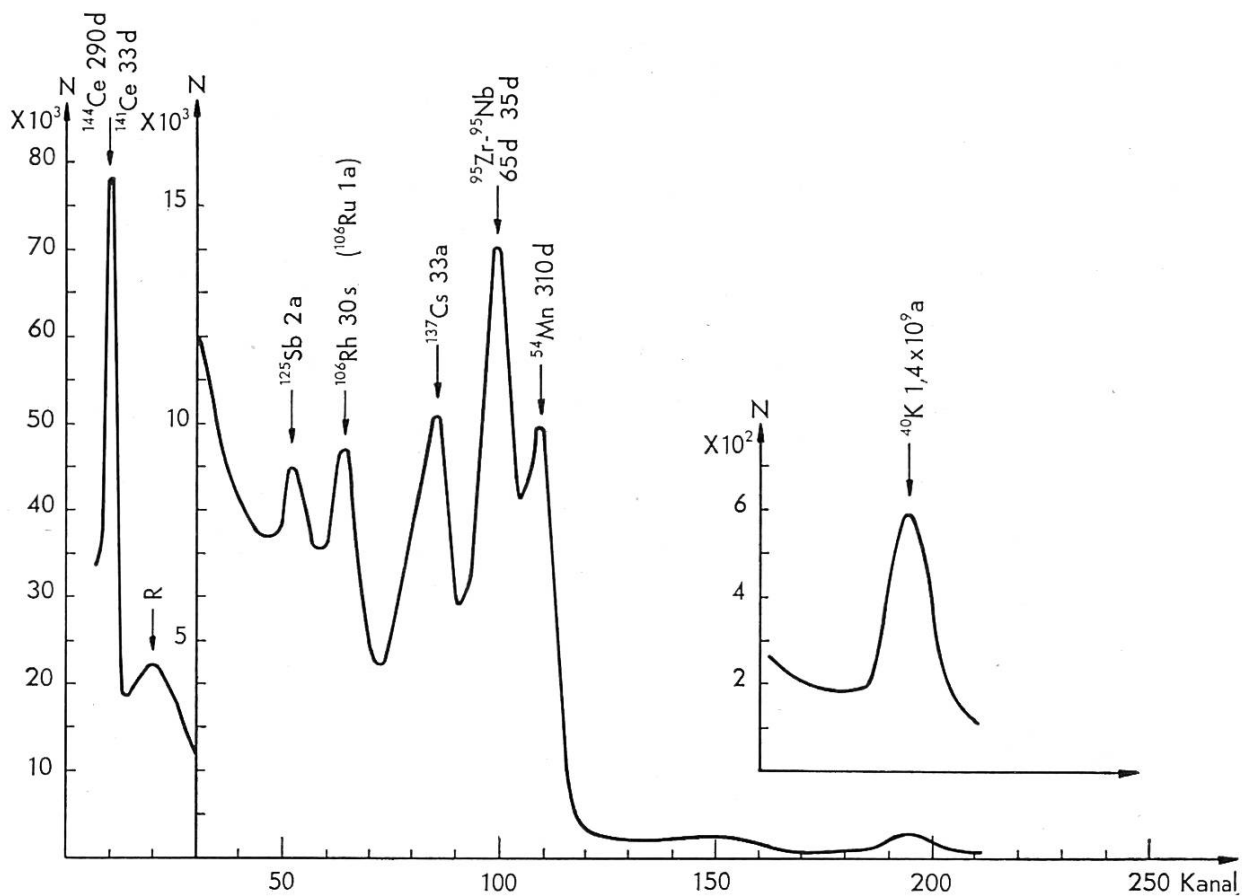


Fig. 11. Gamma-Spektrum von Plankton aus dem Zürichsee, gesammelt am 15. 12. 62, gemessen am 11. 1. 64.
R = Rückstreu spitze

Fig. 11. Spectre gamma de plancton du lac de Zurich, prélevé le 15. 12. 62, mesuré le 11. 1. 64.
R = Pic de diffusion en retour



Fig. 10. Monatliche Niederschlagsmenge (oben) und monatliche, dem Boden durch Niederschlag zugeführte Gesamt-Beta-Aktivität pro km^2 Bodenfläche (unten) für die Messstelle Valsainte.

Fig. 10. Quantité mensuelle des précipitations (en haut) et activité bêta totale accumulée mensuellement par km^2 au sol par les précipitations (en bas), pour la station de la Valsainte.

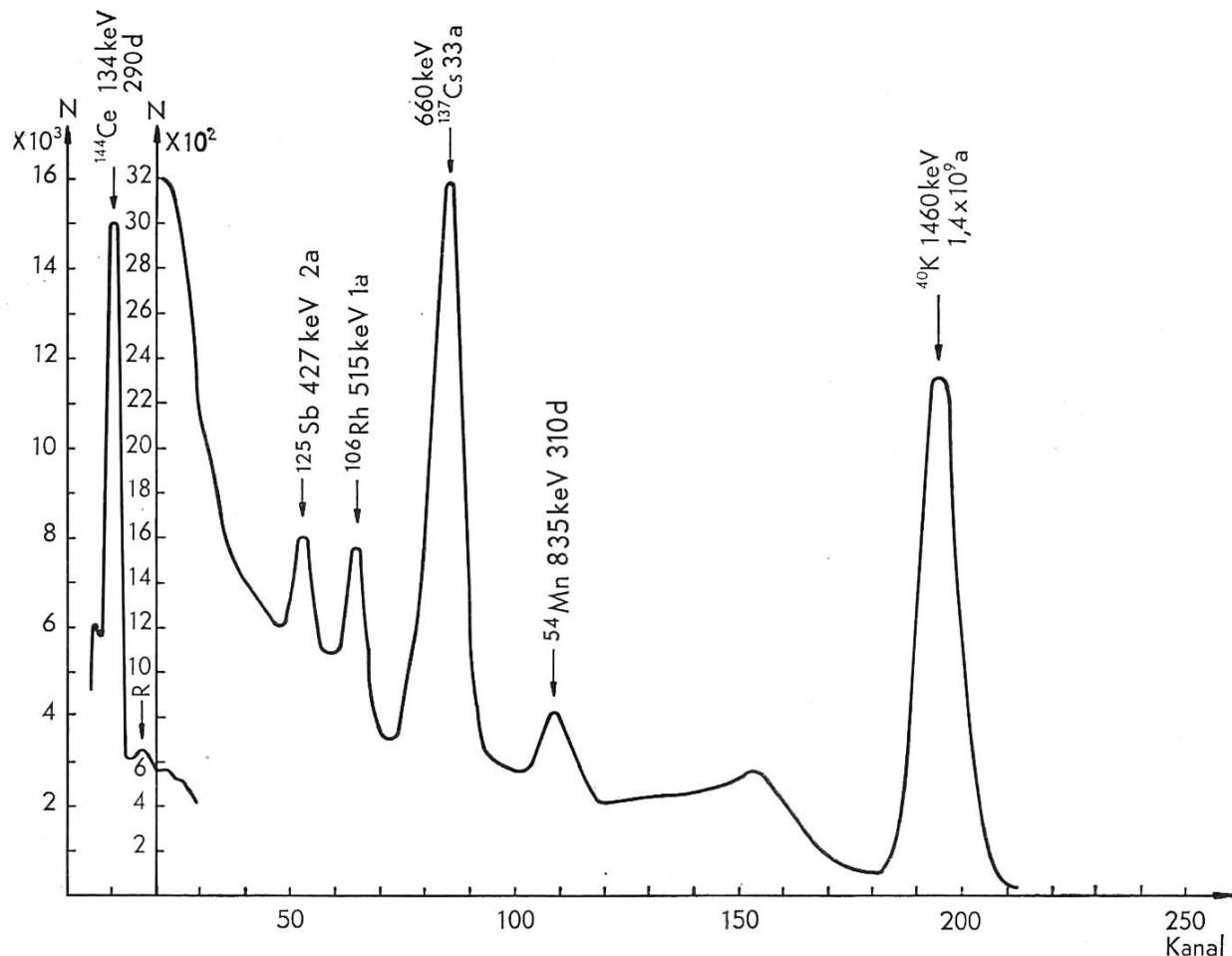


Fig. 12. Gamma-Spektrum von Grasasche. Das Gras wurde am 10. 11. 1961 in Rafz geschnitten, gemessen am 11. 1. 64.
R = Rückstreu spitze

Fig. 12. Spectre gamma de cendres d'herbes. L'herbe a été récoltée le 10. 11. 1961 à Rafz et mesurée le 11. 1. 64.
R = Pic de diffusion en retour

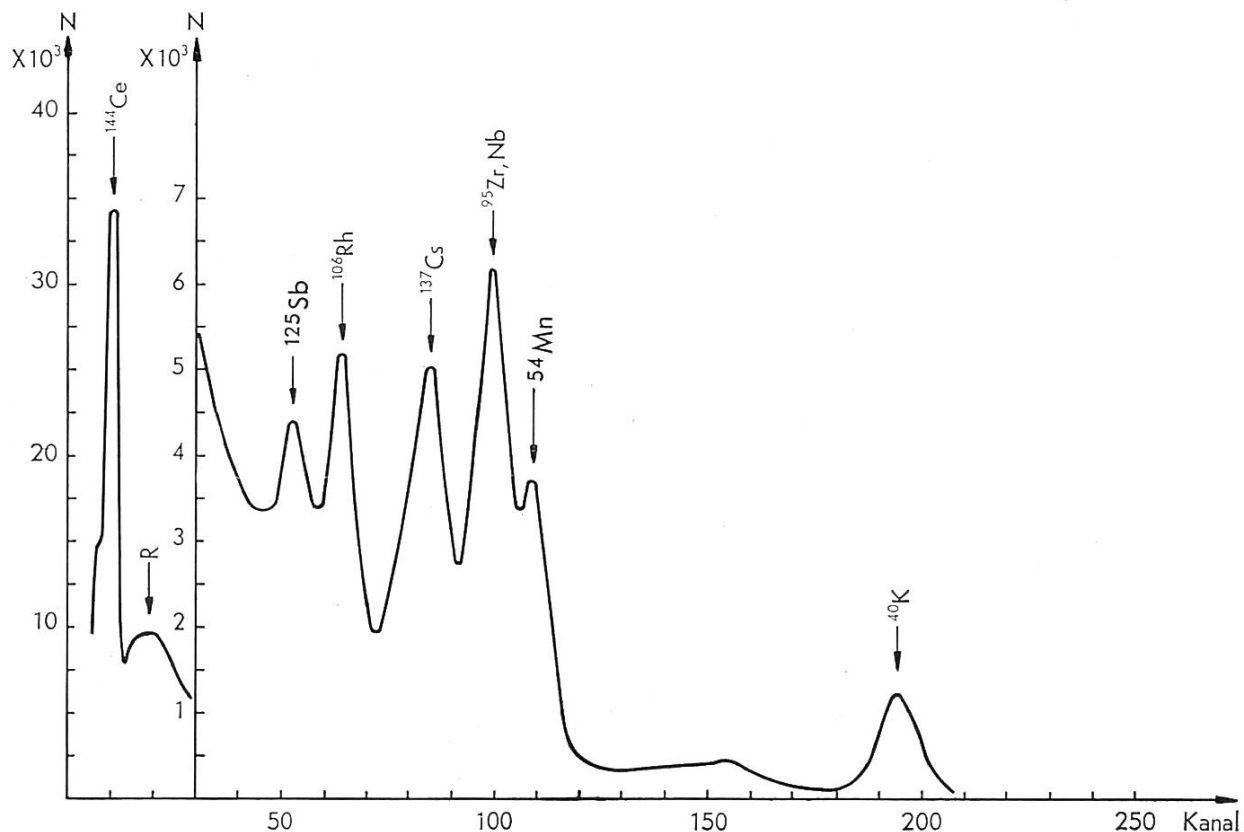


Fig. 13. Gamma-Spektrum von Heu aus Arenenberg. Das Gras wurde am 5. 6. 63 geschnitten, gemessen am 11. 1. 64.
 R = Rückstreu spitze

Fig. 13. Spectre gamma de foin récolté le 5. 6. 63 à Arenenberg, mesuré le 11. 1. 64
 R = Pic de diffusion en retour

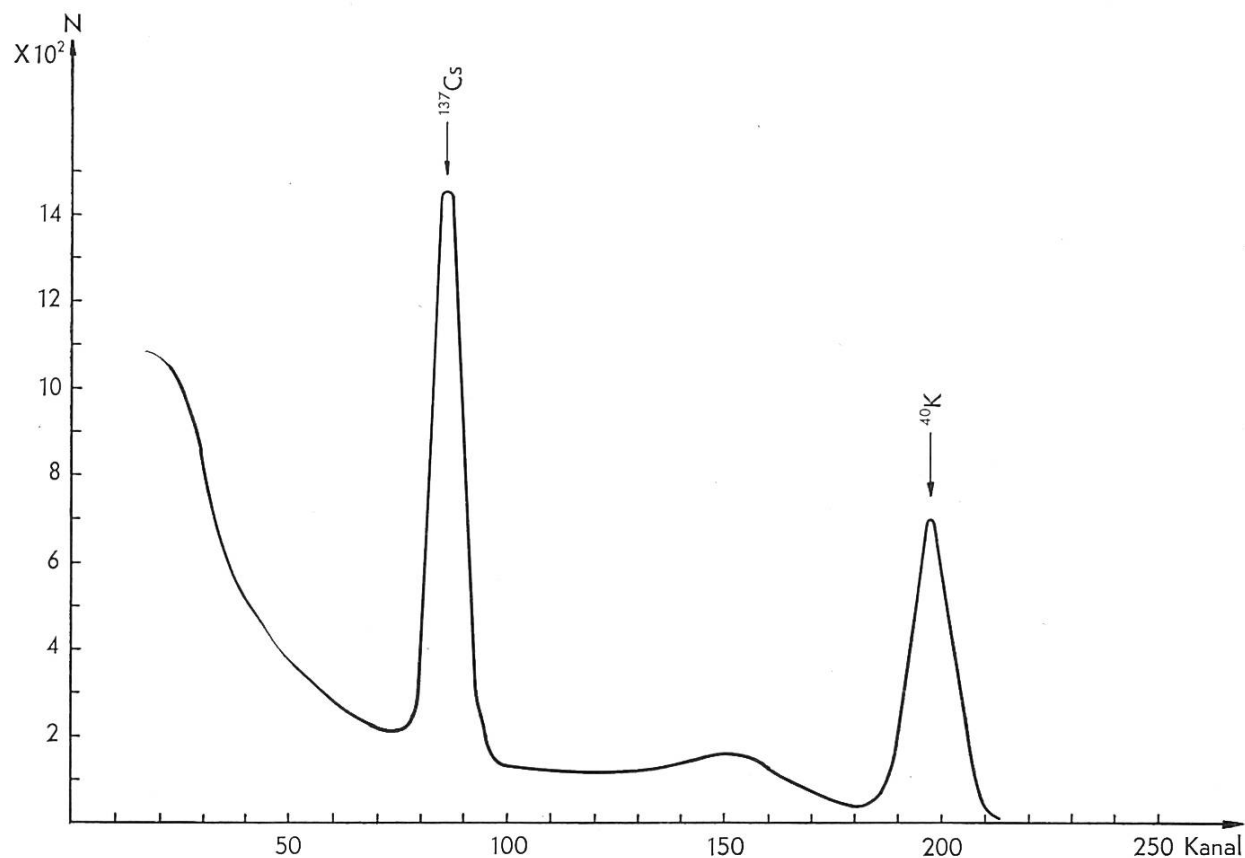


Fig. 14. Gamma-Spektrum von Trockenmilch aus Arenenberg vom 7. 6. 63, gemessen am 12. 1. 64.

Fig. 14. Spectre gamma de lait en poudre d'Arenenberg du 7. 6. 63, mesuré le 12. 1. 64.

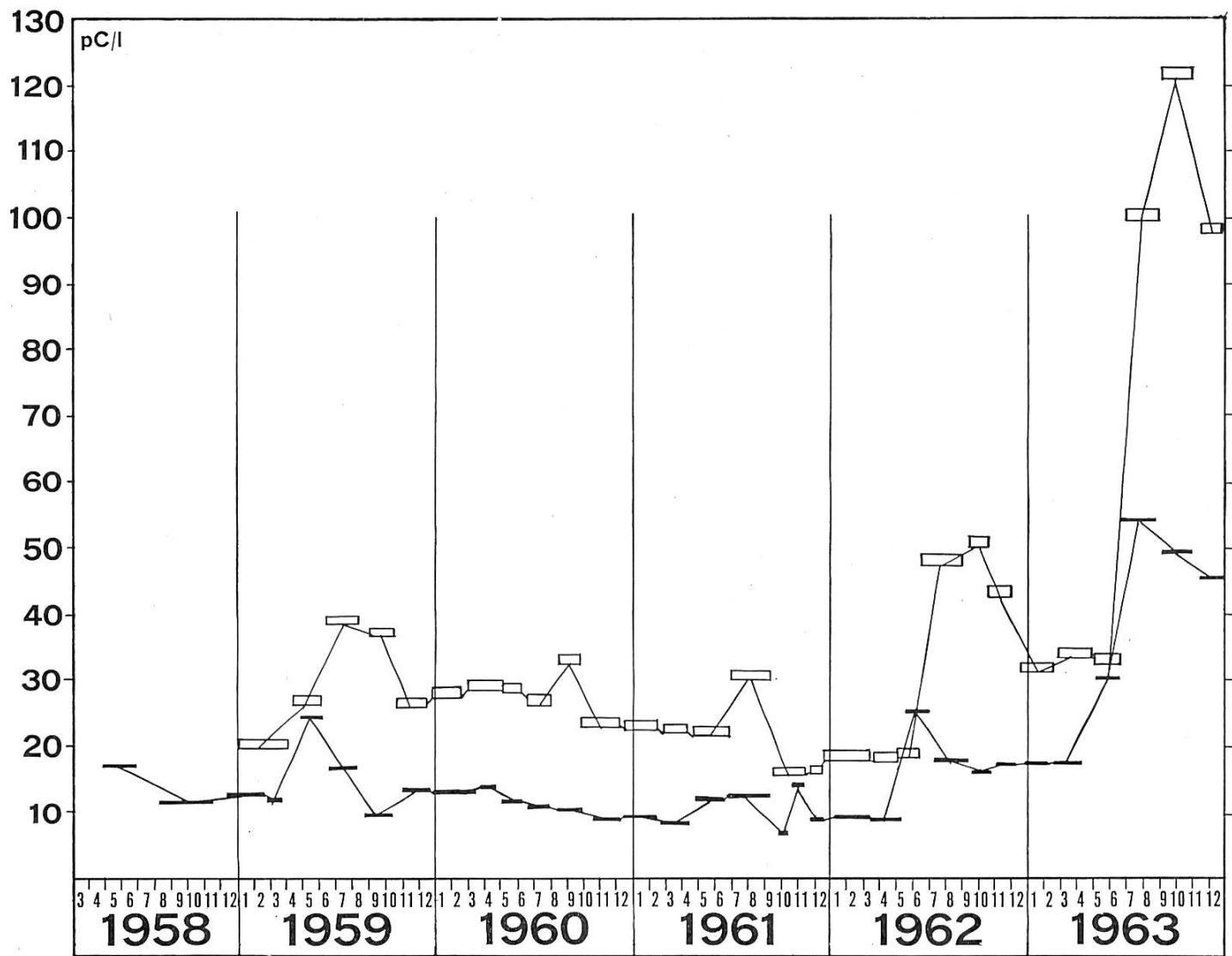


Fig. 15. Spezifische Strontium-90-Aktivität von Frischmilch aus dem Flachland (Bern 540 m) und aus einer Höhenlage (Mürren 1650 m).

Fig. 15. Activité spécifique du strontium-90 dans le lait frais de plaine (Berne 540 m) et de montagne (Mürren 1650 m).

Frischmilch, Flachland
 Lait frais, plaine
 Frischmilch, Höhenlage
 Lait frais, montagne

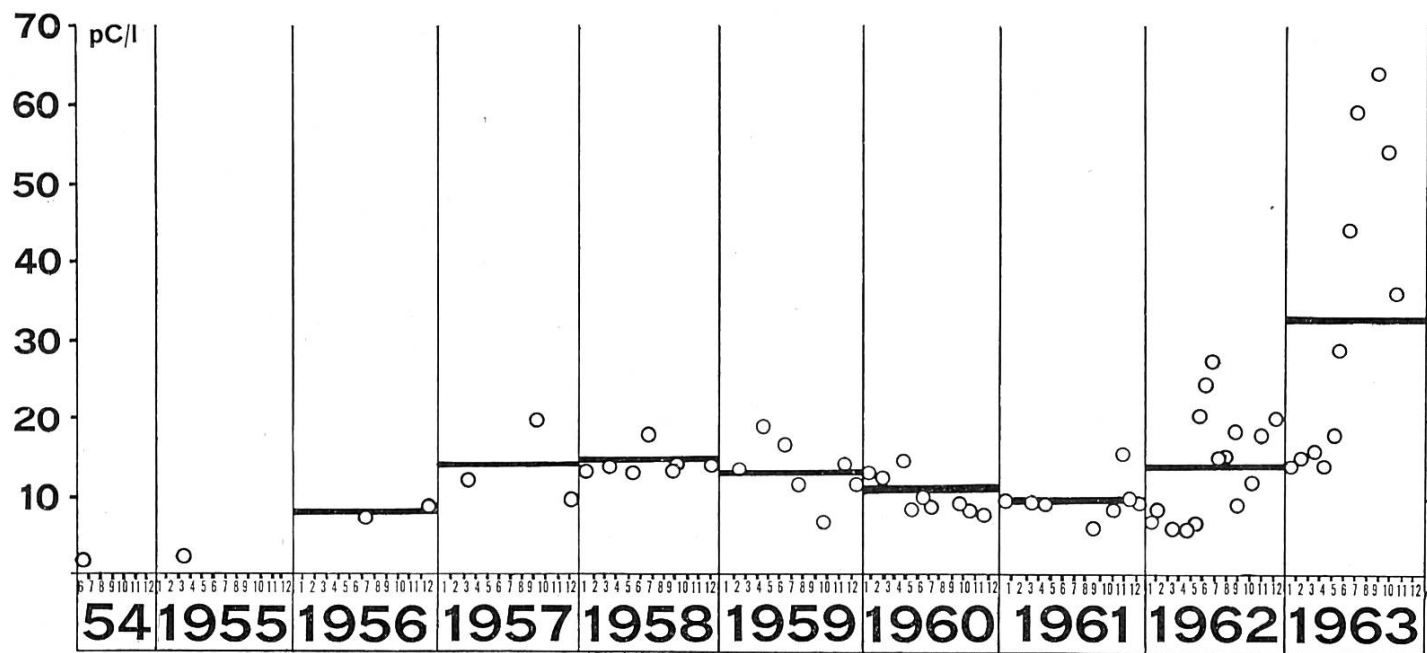


Fig. 16. Spezifische Strontium-90-Aktivität von Trockenmilch (Flachland) seit 1954 in Picocurie pro Liter Milch.

Fig. 16. Activité spécifique du strontium-90 dans le lait en poudre (plaine) depuis 1954, en picocurie par litre de lait.